



---

## *Corso di Robotica 2*

# Robot con ridondanza cinematica

Prof. Alessandro De Luca

DIPARTIMENTO DI INFORMATICA  
E SISTEMISTICA ANTONIO RUBERTI



SAPIENZA  
UNIVERSITÀ DI ROMA



# Robot ridondanti

- cinematica diretta del compito  $r = f(q)$

$$f: \textcircled{Q} \rightarrow \textcircled{R}$$

spazio dei giunti (dim  $Q = N$ )

spazio del compito (dim  $R = M$ )

- robot **ridondante** se  $N > M$  (più gradi di libertà di quelli necessari ad eseguire il compito)
- $r$  può essere la posizione e/o orientamento dell'organo terminale o qualsiasi altra parametrizzazione del compito (anche non nello spazio di lavoro)
- si parla quindi propriamente di "ridondanza" solo **rispetto a un compito (task)**



# Alcuni compiti e la loro dimensione

TASK (per l'organo terminale)	dimensione M
■ posizionamento nel piano	2
■ posizionamento nello spazio	3
■ orientamento nel piano	1
■ puntamento nello spazio	2
■ posizione e orientamento nello spazio	6

un robot planare con  $N = 3$  giunti è **ridondante** rispetto al **posizionamento nel piano** ( $M = 2$ ), ma **non** rispetto al **posizionamento + orientamento nel piano** ( $M = 3$ )



## Casi tipici di robot ridondanti

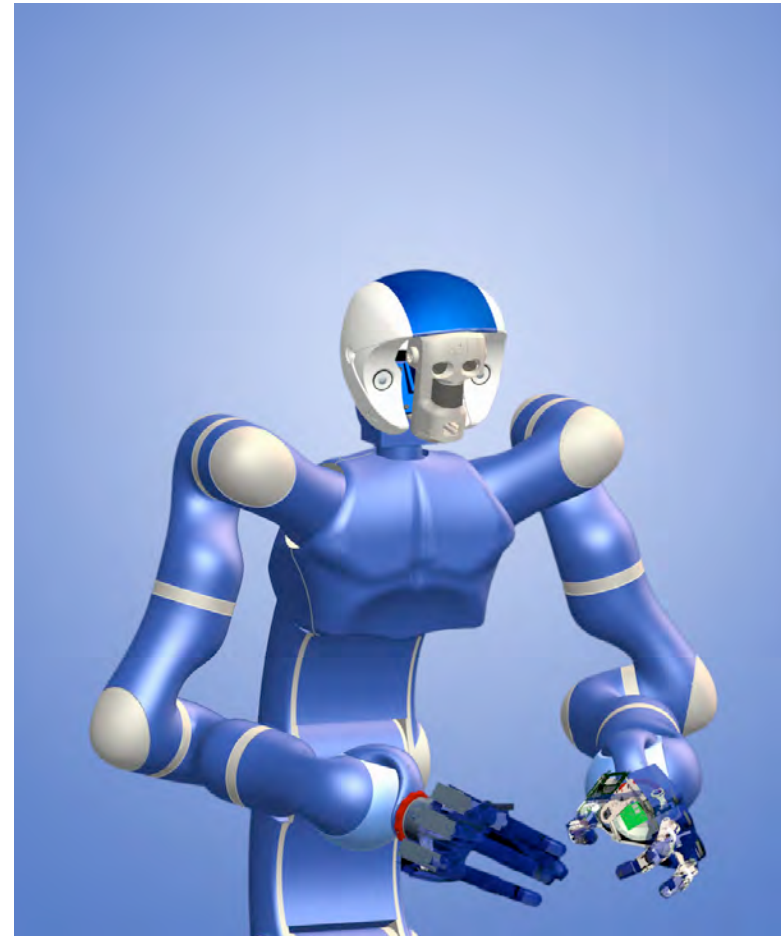
---

- robot 6R montato su binario
- robot a 6-dof usato per saldature ad arco
  - il compito non richiede di specificare l'angolo finale di roll
- manipolatore su base mobile
- mano robotica ad elevata destrezza
- squadre di robot mobili cooperanti
- ...
- la ridondanza "cinematica" non è l'unico tipo...
  - ridondanza di componenti (attuatori, sensori)
  - ridondanza nell'architettura di controllo e supervisione

# Robot del DLR: LWR-III e Justin



manipolatore 7R



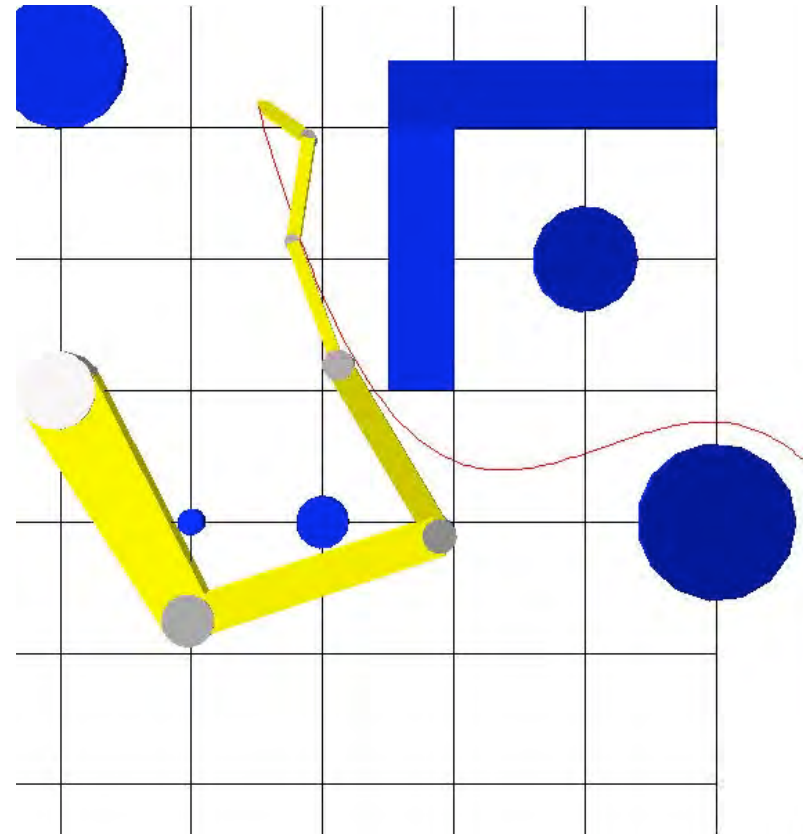
2 bracci 7R + tronco 3R + 2 mani



## Esempi video - 1



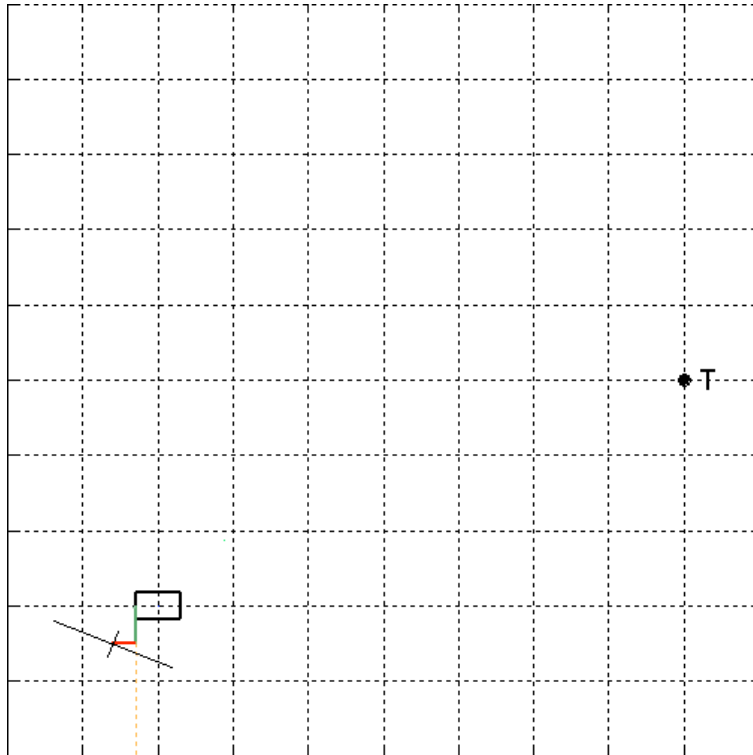
Dexter 8R: automovimento



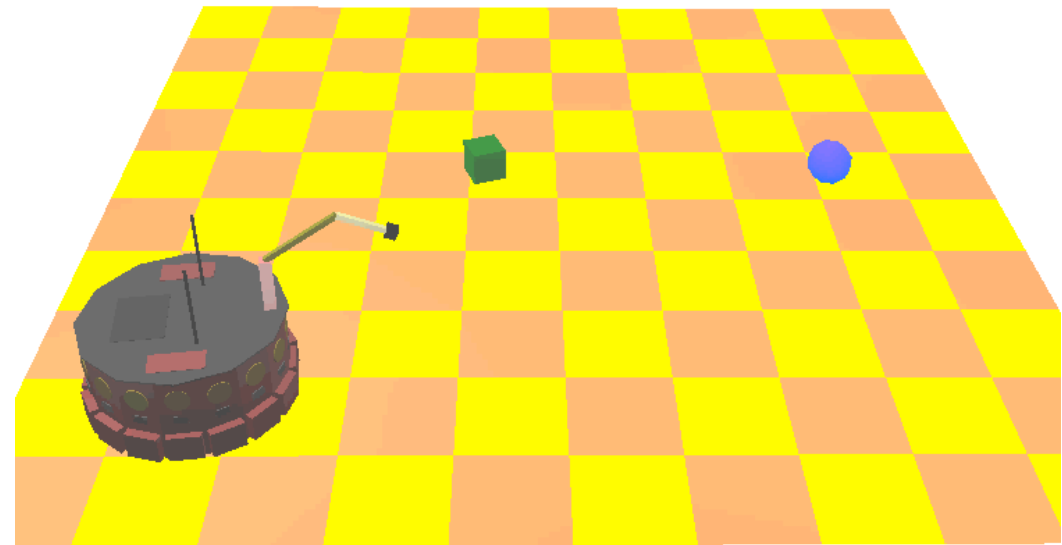
Planare 6R: obstacle avoidance  
su cammino assegnato dell'E-E



## Esempi video - 2



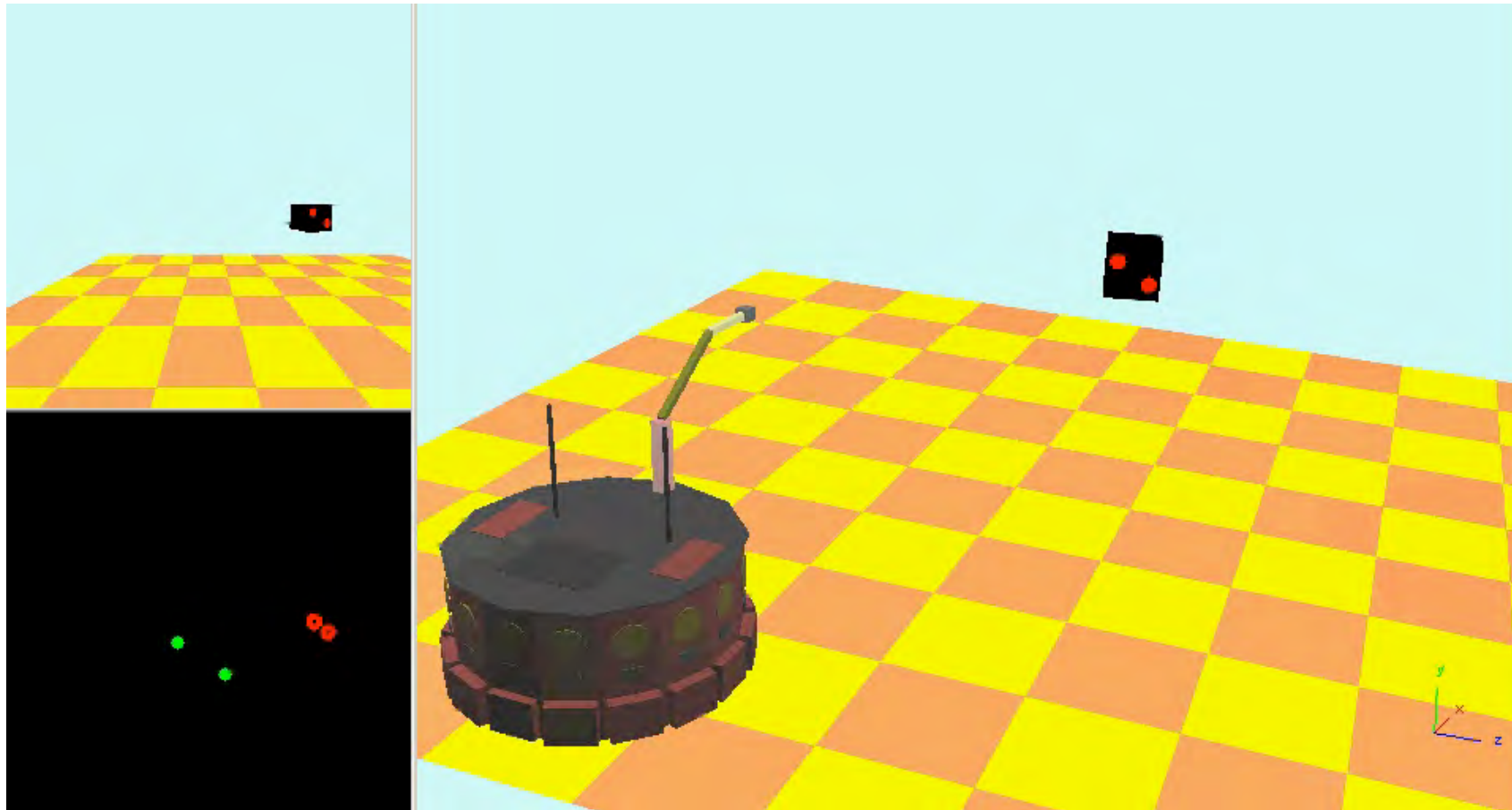
Uniciclo + planare 2R: controllo di  
traiettoria con compito su link 1



Magellan + 3R: controllo di  
traiettoria con puntamento dell'E-E



## Esempi video - 3



Magellan + 3R: visual servoing nello spazio immagine di 2 features ( $M=4$ )



## La ridondanza può essere usata per...

- evitare ostacoli (nello spazio cartesiano)...
- ... o singularità cinematiche (nello spazio dei giunti)
- aumentare la manipolabilità in determinate direzioni
- distribuire uniformemente/limitare le velocità di giunto
- rimanere entro i limiti di fondo corsa dei giunti
- minimizzare il consumo di energia
- ottimizzare il tempo di percorrenza, le coppie richieste...
- aumentare l'affidabilità rispetto a guasti

obiettivi "misurabili"

vantaggi ottenibili al costo di...



# Svantaggi della ridondanza

---

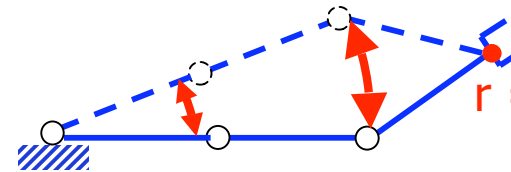
- maggiore complessità strutturale
  - meccanica (bracci, trasmissioni)
  - di attuazione
- algoritmi di cinematica inversa e di controllo più complessi



# Problema cinematico inverso

- trovare  $q(t)$  che realizzi  $f(q(t)) = r(t)$  (il compito nel tempo)
- esistono **infinite soluzioni** se il robot è ridondante (anche per  $r(t) = r = \text{costante}$ )

$$N = 3 > 2 = M$$



$r =$  posizione E-E costante

- esistono “**movimenti interni**” che sono **inosservabili** dal punto di vista dell’esecuzione del compito (es., moto dell’E-E)
  - possono essere scelti in modo da **ottimizzare** in qualche modo il comportamento del sistema
- **automovimento (self-motion)**: riconfigurazione del braccio che lascia inalterato il valore delle variabili  $r$  del compito

# Risoluzione della ridondanza

(come ottimizzazione di una funzione obiettivo)



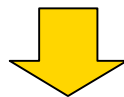
## ■ Locale

note  $\dot{r}(t)$  e  $q(t)$ ,  $t = kT_s$

(ottimizzazione di  $H(q, \dot{q})$ )



$\dot{q}(t)$  ← ON-LINE



$$q((k + 1)T_s) = q(kT_s) + T_s \cdot \dot{q}(kT_s)$$

## ■ Globale

note  $r(t)$ ,  $t \in [t_0, t_0 + T]$ ,  $q(t_0)$

(ottimizzazione di  $\int_{t_0}^{t_0+T} H(q, \dot{q}) d\tau$ )



$q(t)$ ,  $t \in [t_0, t_0 + T]$

OFF-LINE



# Metodi di risoluzione locale

---

## Tre classi di metodi per risolvere $\dot{r} = J(q)\dot{q}$

### 1 metodi basati sullo Jacobiano (qui, analitico!)

tra le infinite soluzioni, si sceglie ad esempio quella che minimizza una certa norma (eventualmente) pesata

### 2 metodi con lo spazio nullo

si aggiunge alla soluzione a norma minima un contributo che non modifica la traiettoria del compito, ovvero che  $\in \mathcal{N}(J(q))$

### 3 metodi basati sul compito aumentato

si riduce/elimina la ridondanza aggiungendo  $S \leq N-M$  compiti ausiliari (se  $S = N-M$ , si "quadra" il problema)



# 1 Metodi Jacobian-based

si cerca una soluzione di  $\dot{r} = J(q)\dot{q}$  nella forma

$$J = \underbrace{\quad}_{N} \quad \dot{q} = K(q)\dot{r} \quad K = \underbrace{\quad}_{M} \quad \underbrace{\quad}_{N}$$

requisito minimo per  $K$ :  $J(q)K(q)J(q) = J(q)$

( $\Rightarrow$   $K$  inversa generalizzata di  $J$ )



$$\forall \dot{r} \in \mathcal{R}(J(q)) \Rightarrow J(q)[K(q)\dot{r}] = J(q)K(q)J(q)\dot{q} = J(q)\dot{q} = \dot{r}$$

ad es., se  $J = [J_a \ J_b]$ ,  $\det(J_a) \neq 0$ , un'inversa (destra) di  $J$  è  $K_r = \begin{pmatrix} J_a^{-1} \\ 0 \end{pmatrix}$



# Pseudoinversa

$$\dot{q} = J^\#(q)\dot{r}$$

scelta per  $K = J^\#$

- $J^\#$  **esiste** sempre ed è l'**unica** matrice che soddisfa

$$J J^\# J = J$$

$$J^\# J J^\# = J^\#$$

$$(J J^\#)^T = J J^\#$$

$$(J^\# J)^T = J^\# J$$

- se  $J$  è a **rango pieno**,  $J^\# = J^T (J J^T)^{-1}$ ; altrimenti va calcolata numericamente mediante SVD (Singular Value Decomposition) della  $J$

- la soluzione  $\dot{q}$  **minimizza la norma**  $\frac{1}{2} \|\dot{q}\|^2 = \frac{1}{2} \dot{q}^T \dot{q}$



## Pseudoinversa pesata

$$\dot{q} = J_W^\#(q) \dot{p} \quad \text{scelta per } K = J_W^\#$$

- se  $J$  è a rango pieno,  $J_W^\# = W^{-1} J^T (J W^{-1} J^T)^{-1}$
- la soluzione  $\dot{q}$  minimizza la norma pesata

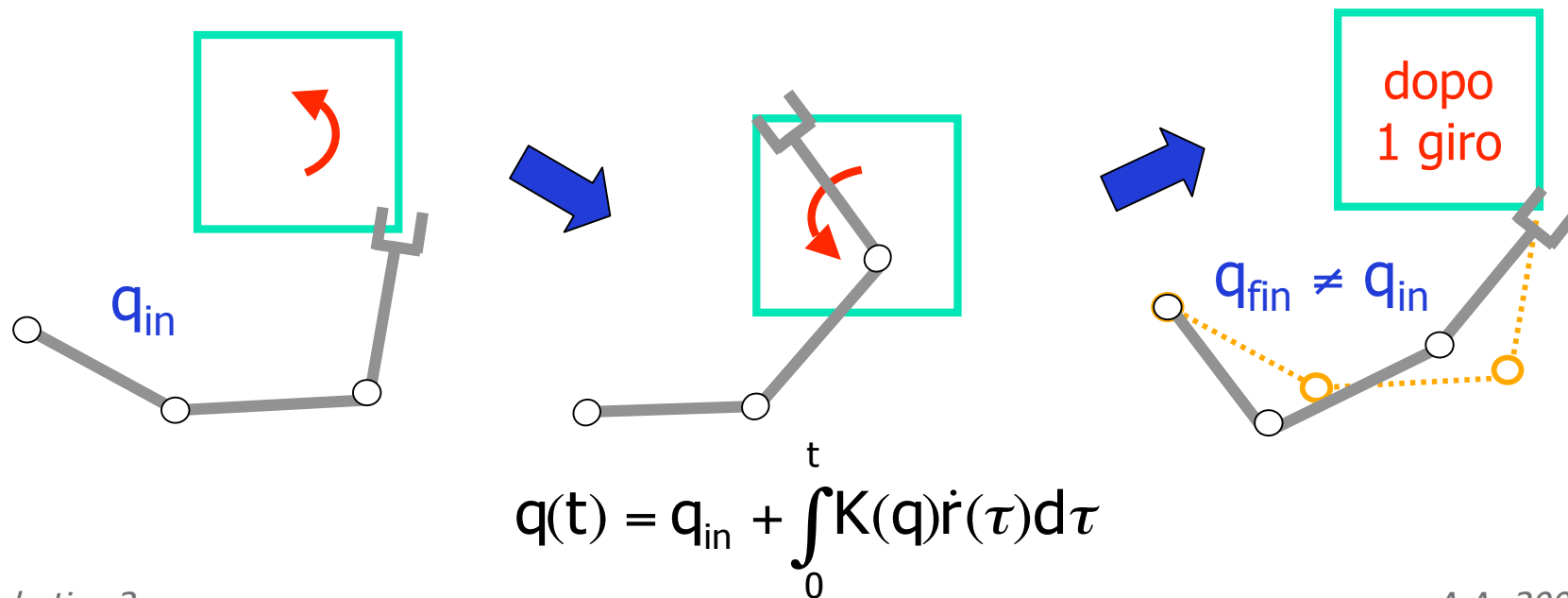
$$\frac{1}{2} \|\dot{q}\|_W^2 = \frac{1}{2} \dot{q}^T W \dot{q} \quad W > 0, \text{ simmetrica} \\ \text{(spesso diagonale)}$$

- peso  $W_i$  grande  $\Rightarrow$  piccola  $\dot{q}_i$  (ad es., pesi scelti inversamente proporzionali alle escursioni dei giunti)
- non è una "pseudoinversa" (non soddisfa la IV<sup>a</sup> relazione)



# Svantaggi dei metodi Jacobian-based

- non è detto che si evitino globalmente le **singularità** durante l'esecuzione del compito
- potrebbero fornire soluzioni **non ripetibili**
  - cammini ciclici nello **spazio del compito** non corrispondono a cammini ciclici nello **spazio dei giunti**



# Robustezza a singolarità: Inversa Smorzata



ottimizzazione  
non vincolata

$$\min_{\dot{q}} \frac{\lambda}{2} \|\dot{q}\|^2 + \frac{1}{2} \|J\dot{q} - \dot{r}\|^2 = H(\dot{q})$$

minimi quadrati  
smorzati (DLS)

SOLUZIONE

$$\dot{q} = J^T (JJ^T + \lambda I)^{-1} \dot{r}$$

- è **robusta rispetto alle singolarità** (si può usare anche per  $N = M$ ), ma ne risulta un **errore** sulla traiettoria del compito
- scelta del fattore di smorzamento  $\lambda \geq 0$  di **compromesso** fra minima norma delle **velocità di giunto**  $\|\dot{q}\|$  e minimo **errore di traiettoria**  $\|\dot{r} - J\dot{q}\|$  (scelta ragionevole:  $\lambda(q) \geq 0$  funzione del minimo valore singolare di  $J \cong$  distanza da una singolarità)



## 2 Metodi con lo spazio nullo

soluzione generale di  $J \dot{q} = \dot{r}$

$$\dot{q} = J^\# \dot{r} + (I - J^\# J) \dot{q}_0$$

tutte le soluzioni dell'equazione omogenea associata  $J \dot{q} = 0$  (automovimenti)

una soluzione particolare (qui la pseudoinversa)

"proiettore" nel  $\mathcal{N}(J)$

proprietà di  $[I - J^\# J]$

- simmetrica
- idempotente:  $[I - J^\# J]^2 = [I - J^\# J]$
- $[I - J^\# J]^\# = [I - J^\# J]$

più in generale...

$$\dot{q} = K_1 \dot{r} + (I - K_2 J) \dot{q}_0$$

$K_1, K_2$  inverse generalizzate di  $J$   
( $J K_i J = J$ )

come scegliere  $\dot{q}_0$ ?

# Ottimizzazione lineare-quadratica

Generalità



$$\min_x \frac{1}{2} (x - x_0)^T W (x - x_0) = H(x)$$

$$x \in \mathbb{R}^N, W > 0$$

(simmetrica)

s.t.  $Jx = y$

*M x N*

$$y \in \mathbb{R}^M, \rho(J) = M$$

$$L(x, \lambda) = H(x) + \lambda^T (Jx - y) \leftarrow \text{Lagrangiana}$$

c. nec. minimo

$$\left\{ \begin{array}{l} \nabla_x L = \frac{\partial L}{\partial x} = W(x - x_0) + J^T \lambda = 0 \end{array} \right. \Rightarrow x = x_0 - W^{-1} J^T \lambda$$

+

$$\left\{ \begin{array}{l} \nabla_\lambda L = Jx - y = 0 \end{array} \right. \Rightarrow Jx_0 - JW^{-1} J^T \lambda - y = 0$$

c. suff.

$$\left\{ \begin{array}{l} \nabla_x^2 L = W > 0 \end{array} \right.$$

$$\lambda = \underbrace{(JW^{-1}J^T)^{-1}}_{M \times M \text{ invertibile}} (Jx_0 - y) \Rightarrow x = x_0 - W^{-1} J^T (JW^{-1}J^T)^{-1} (Jx_0 - y)$$

# Ottimizzazione lineare-quadratica

Applicazione ai robot ridondanti



PROBLEMA

$$\min_{\dot{q}} \frac{1}{2} (\dot{q} - \dot{q}_0)^T W (\dot{q} - \dot{q}_0) = H(\dot{q})$$
$$J(q) \dot{q} = \dot{r}$$

$\dot{q}_0$  è una  
velocità di giunto  
"privilegiata"

SOLUZIONE

$$\dot{q} = \dot{q}_0 - \underbrace{W^{-1} J^T (J W^{-1} J^T)^{-1}}_{J_W^\#} (J \dot{q}_0 - \dot{r})$$

$$\dot{q} = \underbrace{J_W^\#}_{\text{soluzione a minima}} \dot{r} + \underbrace{(I - J_W^\# J)}_{\text{"proiettore" nel nucleo } \mathcal{N}(J)} \dot{q}_0$$

soluzione a minima  
norma pesata (per  $\dot{q}_0 = 0$ )

"proiettore" nel nucleo  $\mathcal{N}(J)$



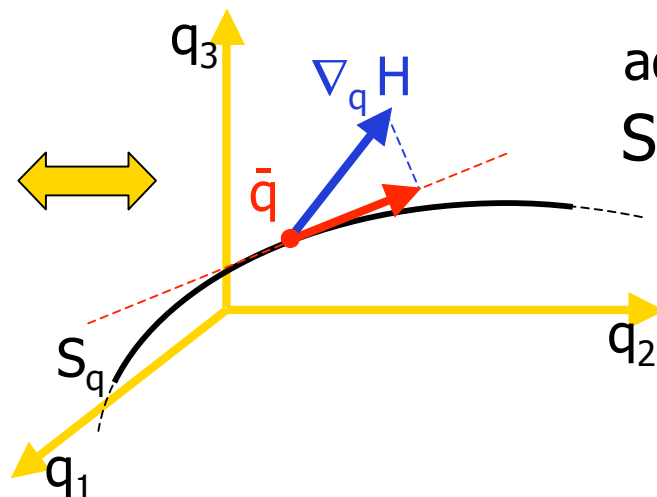
# Gradiente proiettato (PG)

$$\dot{q} = J^\# \dot{r} + (I - J^\# J) \dot{q}_0$$

la scelta  $\dot{q}_0 = \nabla_q H(q)$  → funzione obiettivo differenziabile  
realizza un passo di un algoritmo di ottimizzazione vincolata

mentre si muove lungo il compito  $r(t)$   
il robot tende ad aumentare il valore di  $H(q)$

gradiente  
proiettato



ad es., per  $\bar{r}$  fissato

$$S_q = \{q \in \mathbb{R}^N : f(q) = \bar{r}\}$$

$$\dot{q} = (I - J^\# J) \nabla_q H$$



# Tipiche funzioni obiettivo $H(q)$

- manipolabilità (massimizza la "distanza" dalle singolarità)

$$H_{\text{man}}(q) = \sqrt{\det J(q)J^T(q)}$$

- joint range (minimizza la "distanza" dal centro delle escursioni di giunto)

$$H_{\text{range}}(q) = \frac{1}{2N} \sum_{i=1}^N \left( \frac{q_i - \bar{q}_i}{q_{M,i} - q_{m,i}} \right)^2$$

$$\dot{q}_0 = - \nabla_q H(q)$$

- obstacle avoidance (massimizza la "distanza" dagli ostacoli)

$$H_{\text{obs}}(q) = \min_{\substack{a \in \text{robot} \\ b \in \text{ostacoli}}} \|a(q) - b\|^2$$

possibili problemi di differenziabilità in questo problema di max-min

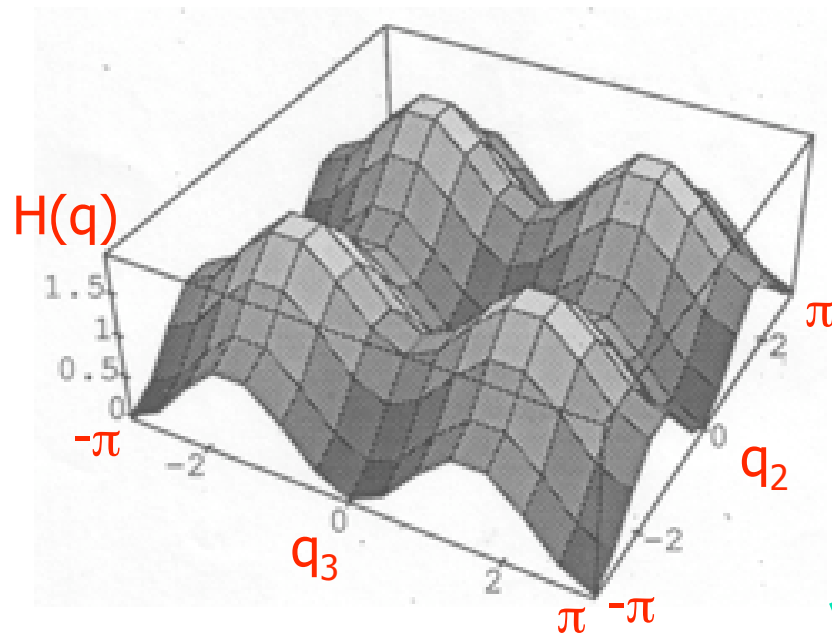


# Singularità 3R planare

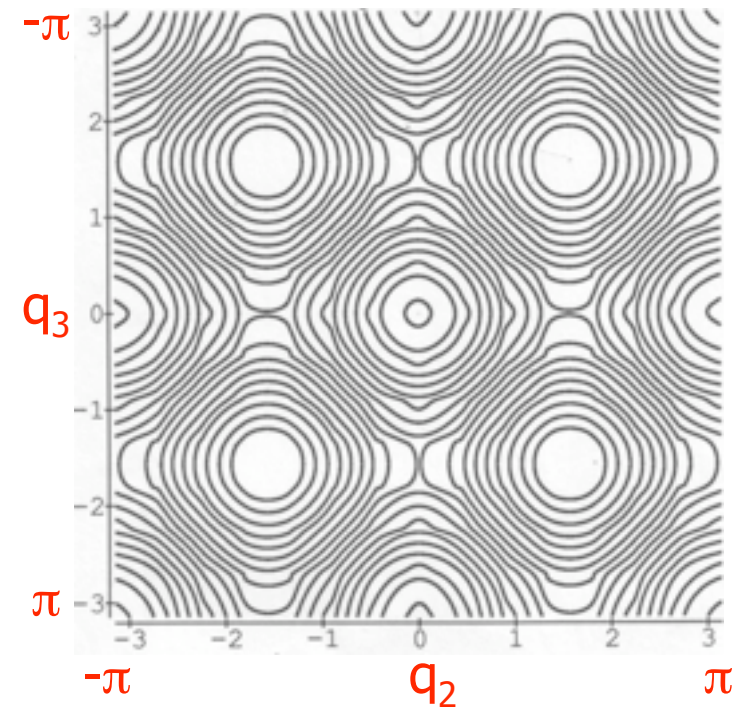
in un compito di  
posizionamento

$$H(q) = \sin^2 q_2 + \sin^2 q_3$$

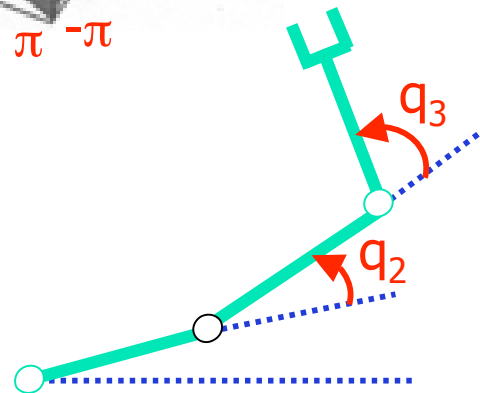
non è la  $H_{\text{man}}$   
ma ha gli stessi minimi!



curve di livello



indipendente da  $q_1$ !



# Commenti sui metodi con lo spazio nullo



- il proiettore nel nullo  $(I - J^\#J)$  ha dimensione  $N \times N$  ma rango solo  $N - M$  (se  $J$  ha rango pieno), con **spreco di informazione**
- metodo effettivo di calcolo della soluzione

$$\dot{q} = J^\# \dot{r} + (I - J^\#J) \dot{q}_0 = \dot{q}_0 + J^\# (\dot{r} - J \dot{q}_0)$$

- viene comunque richiesto il calcolo della pseudoinversa, **oneroso computazionalmente** (sia se a rango pieno che non)
- la complessità di un metodo di risoluzione della ridondanza dovrebbe in effetti dipendere solo dal **grado di ridondanza  $N - M$**
- esiste un metodo di ottimizzazione vincolata più efficiente del gradiente proiettato (PG) nel caso di **Jacobiano a rango pieno ...**



# Gradiente ridotto (RG)

- se  $\rho(J(q)) = M$ , allora esiste una partizione dei giunti (a valle di un eventuale riordinamento dei giunti)

$$q = \left( \begin{array}{c} q_a \\ q_b \end{array} \right) \left. \begin{array}{l} \} M \\ \} N-M \end{array} \right\} \text{ tale che } J_a(q) = \frac{\partial f}{\partial q_a} \text{ è nonsingolare}$$

- per il **teorema delle funzioni implicite**,  $\exists$  una funzione  $g$

$$f(q_a, q_b) = r \quad \Rightarrow \quad q_a = g(r, q_b)$$

$$\text{con } \frac{\partial g}{\partial q_b} = - \left( \frac{\partial f}{\partial q_a} \right)^{-1} \frac{\partial f}{\partial q_b} = - J_a^{-1}(q) J_b(q)$$

- si usano le  **$N-M$  variabili indipendenti  $q_b$**  per ottimizzare un criterio  $H(q)$  ("ridotto" tramite la  $g$  ad una funzione delle sole  $q_b$ ) con il **metodo del gradiente**
- si scelgono poi le  **$q_a = g(r, q_b)$**  per assicurare l'**esecuzione del compito**



# Algoritmo del gradiente ridotto

- $H(q) = H(q_a, q_b) = H(g(r, q_b), q_b) = H'(q_b)$  (con  $r$  al valore corrente)
- **gradiente ridotto** (rispetto alle sole  $q_b$ )

$$\nabla_{q_b} H' = \begin{bmatrix} -(J_a^{-1} J_b)^T & I \end{bmatrix} \nabla_q H \quad ( \neq \nabla_{q_b} H !! )$$

- **ALGORITMO**

$$\dot{q}_b = \nabla_{q_b} H'$$

passo nella direzione del gradiente  
nello spazio ridotto (N-M)-dim

$$J_a \dot{q}_a + J_b \dot{q}_b = \dot{r}$$

soddisfacimento degli M vincoli  
del compito



$$\dot{q}_a = J_a^{-1} (\dot{r} - J_b \dot{q}_b)$$



# Confronto tra i metodi PG e RG

- Projected Gradient (**PG**)

$$\dot{q} = J^\# \dot{r} + (I - J^\# J) \nabla_q H$$

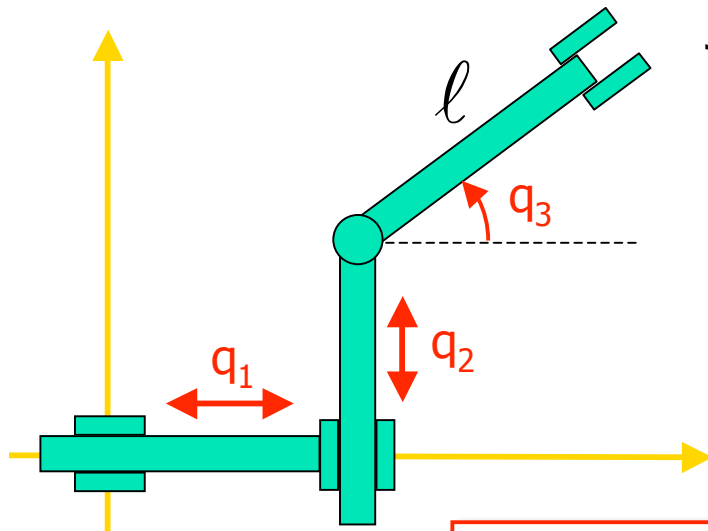
- Reduced Gradient (**RG**)

$$\dot{q} = \begin{pmatrix} \dot{q}_a \\ \dot{q}_b \end{pmatrix} = \begin{pmatrix} J_a^{-1} \\ 0 \end{pmatrix} \dot{r} + \begin{pmatrix} -J_a^{-1} J_b \\ I \end{pmatrix} \begin{pmatrix} -(J_a^{-1} J_b)^\top & I \end{pmatrix} \nabla_q H$$

- RG più conveniente di PG sia dal punto di vista analitico che numerico, ma richiede l'individuazione di un minore non singolare ( $J_a$ ) nello Jacobiano
- se  $r = \text{cost}$  &  $N-M=1 \Rightarrow$  stessa direzione di  $\dot{q}$ , ma passo RG più lungo
- altrimenti, RG e PG forniscono **evoluzioni diverse**



# Esempio analitico: robot PPR



$$J = \begin{pmatrix} 1 & 0 & -l s_3 \\ 0 & 1 & l c_3 \end{pmatrix} = (J_a \mid J_b) \quad q_a = \begin{pmatrix} q_1 \\ q_2 \end{pmatrix} \quad q_b = q_3$$

**RG:**

$$\dot{q} = \begin{pmatrix} 1 & 0 \\ 0 & 1 \\ 0 & 0 \end{pmatrix} \dot{r} + \begin{pmatrix} l s_3 \\ -l c_3 \\ 1 \end{pmatrix} (l s_3 \quad -l c_3 \quad 1) \nabla_q H$$

$$\dot{q} = \begin{pmatrix} J_a^{-1} \\ 0 \end{pmatrix} \dot{r} + \begin{pmatrix} -J_a^{-1} J_b \\ I \end{pmatrix} \left( -(J_a^{-1} J_b)^T \quad I \right) \nabla_q H$$

**PG:**  $\dot{q} = J^\# \dot{r} + (I - J^\# J) \nabla_q H$

$$J^\# = \frac{1}{1 + l^2} \begin{pmatrix} 1 + l^2 c_3^2 & l^2 s_3 c_3 \\ l^2 s_3 c_3 & 1 + l^2 s_3^2 \\ -l s_3 & l c_3 \end{pmatrix} \quad (I - J^\# J) = \frac{1}{1 + l^2} \begin{pmatrix} l^2 s_3^2 & & \text{sym} \\ -l^2 s_3 c_3 & l^2 c_3^2 & \\ l s_3 & -l c_3 & 1 \end{pmatrix}$$

< 1!!



# Limiti di giunto

$$q = \begin{pmatrix} 1 & 0 & 0 & 0 \\ 1 & 1 & 0 & 0 \\ 1 & 1 & 1 & 0 \\ 1 & 1 & 1 & 1 \end{pmatrix} \theta = T \theta$$

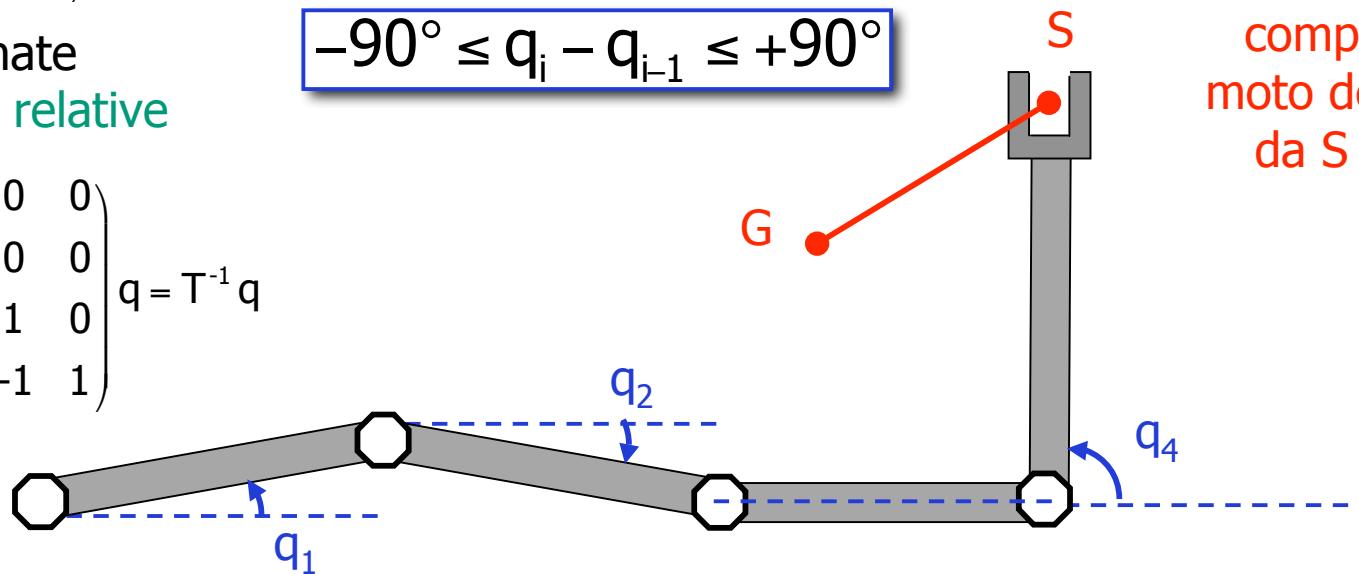
coordinate  
absolute  $\Leftrightarrow$  relative

$$\theta = \begin{pmatrix} 1 & 0 & 0 & 0 \\ -1 & 1 & 0 & 0 \\ 0 & -1 & 1 & 0 \\ 0 & 0 & -1 & 1 \end{pmatrix} q = T^{-1} q$$

$$-90^\circ \leq \theta_i \leq +90^\circ$$



$$-90^\circ \leq q_i - q_{i-1} \leq +90^\circ$$

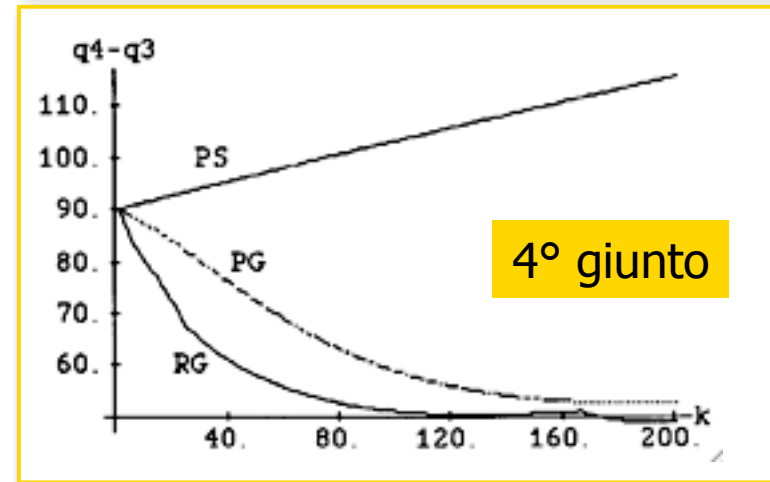
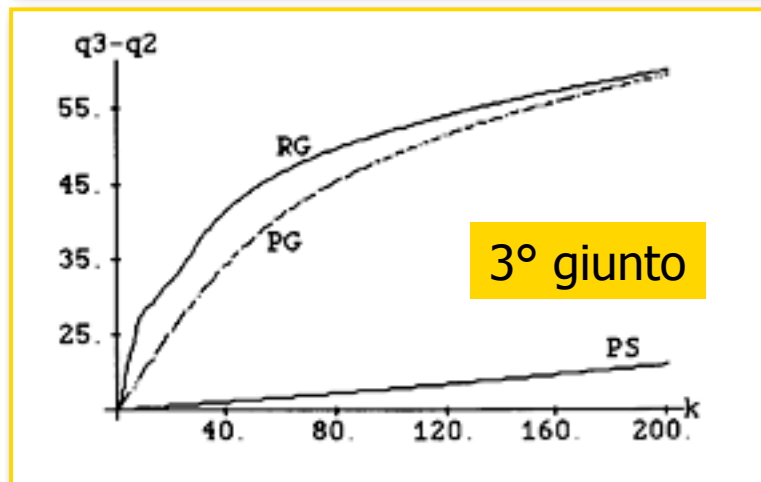
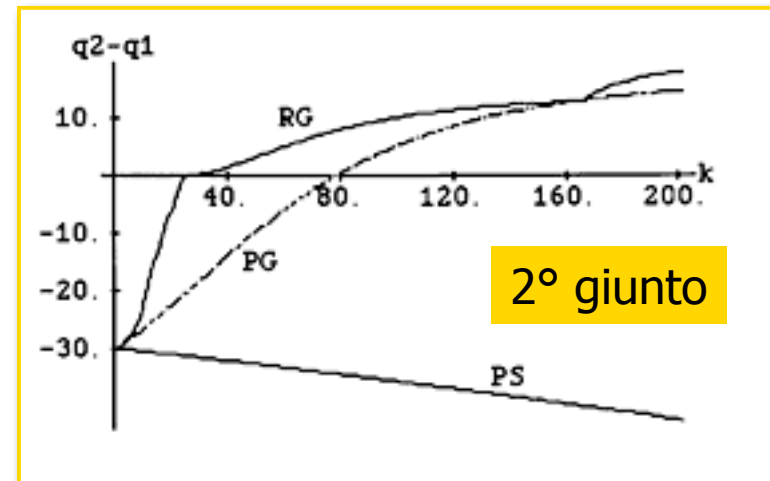
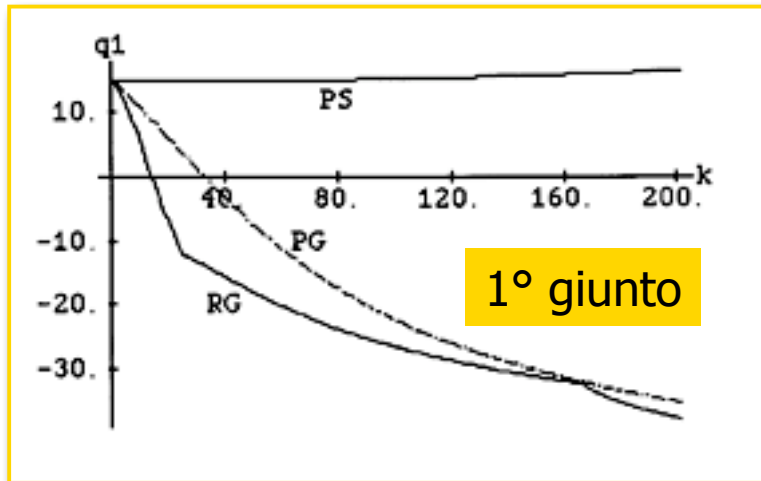


compito:  
moto dell'E-E  
da S a G

confronto fra metodo della pseudoinversa (PS),  
gradiente proiettato (PG) e gradiente ridotto (RG)

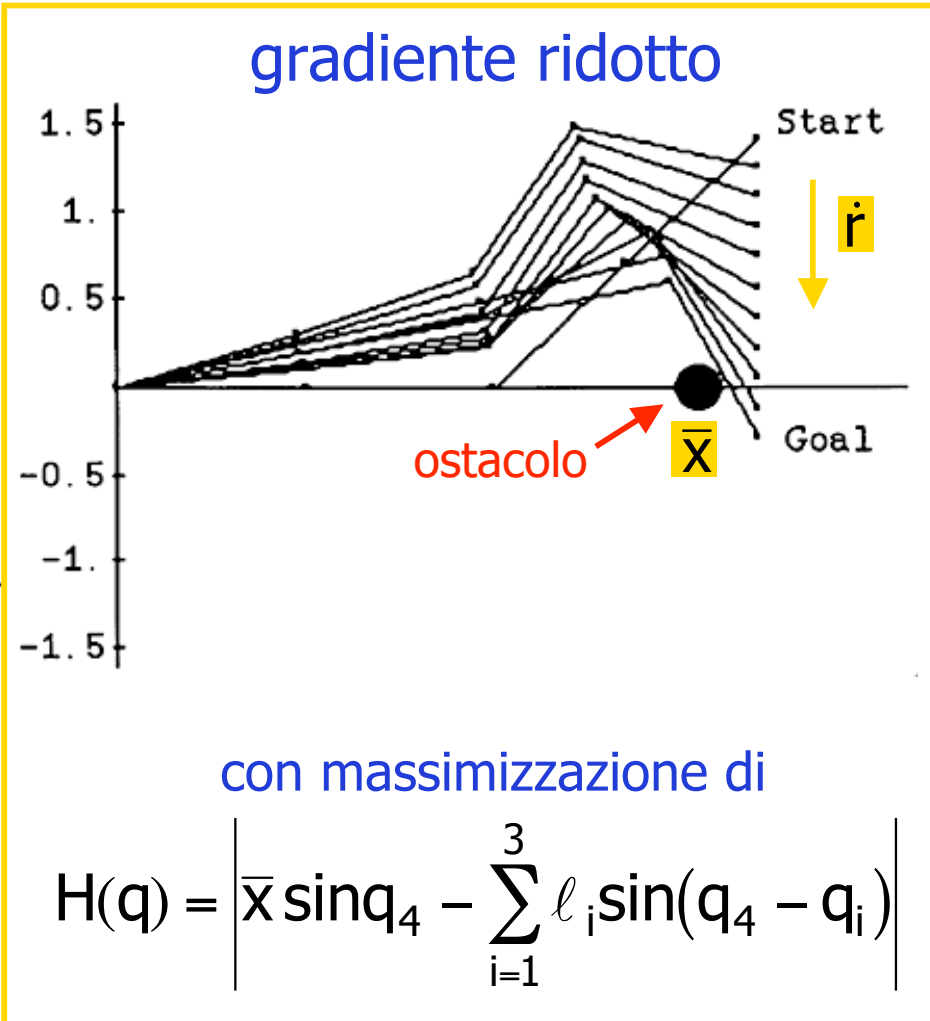
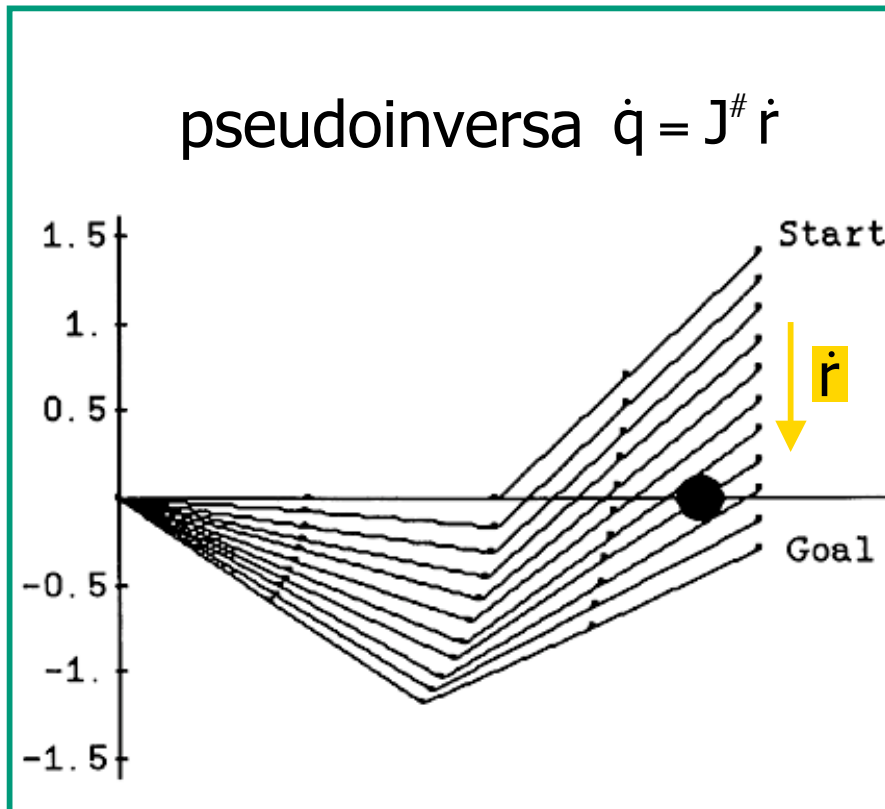


# Simulazione numerica



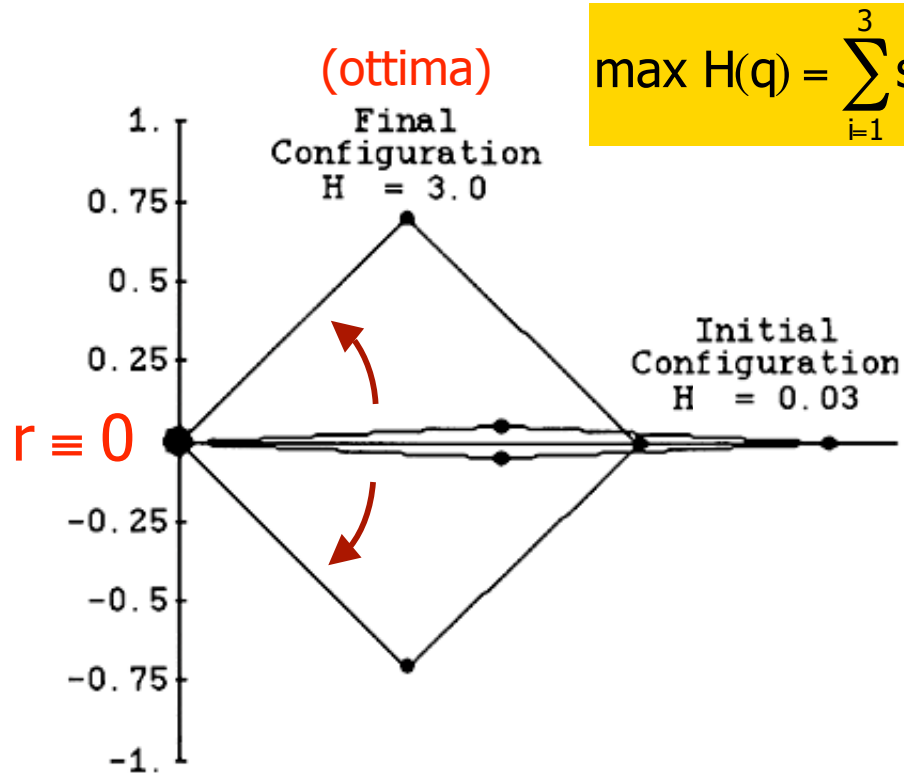


# Obstacle avoidance



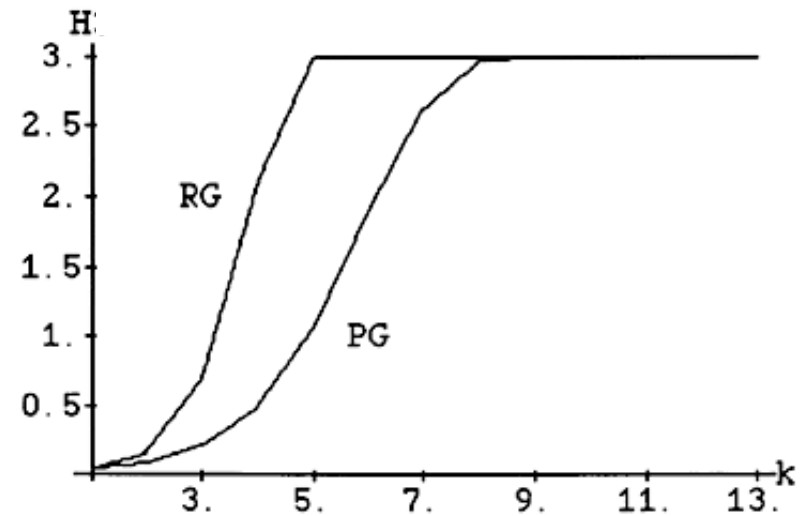


# Automovimento con manipolabilità



$$\max H(q) = \sum_{i=1}^3 \sin^2(q_{i+1} - q_i)$$

... in realtà, non è proprio la funzione di manipolabilità



passi di integrazione

**RG** più veloce di **PG**  
(a parità di accuratezza su  $r$ )



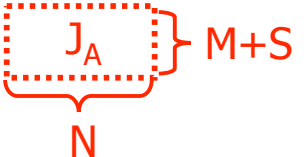
### 3 Metodi con compito aumentato

- si aggiunge un **compito ausiliario** (task augmentation)

$$s \updownarrow \mathbf{f}_y(\mathbf{q}) = \mathbf{y} \quad S \leq N-M$$

corrispondente a qualche aspetto desiderabile della soluzione

$$\mathbf{r}_A = \begin{pmatrix} \mathbf{r} \\ \mathbf{y} \end{pmatrix} = \begin{pmatrix} \mathbf{f}(\mathbf{q}) \\ \mathbf{f}_y(\mathbf{q}) \end{pmatrix} \longrightarrow \dot{\mathbf{r}}_A = \begin{pmatrix} \mathbf{J}(\mathbf{q}) \\ \mathbf{J}_y(\mathbf{q}) \end{pmatrix} \dot{\mathbf{q}} = \mathbf{J}_A(\mathbf{q}) \dot{\mathbf{q}}$$



- si cerca ancora una **soluzione** nella forma

$$\dot{\mathbf{q}} = \mathbf{K}_A(\mathbf{q}) \dot{\mathbf{r}}_A$$

o con l'aggiunta di un termine nel nullo di  $\mathbf{J}_A$



## Con un compito aumentato...

- **vantaggio:** maggiore controllo sulla soluzione inversa
- **svantaggio:** si introducono singolarità **algoritmiche** quando

$$\rho(J) = M \quad \rho(J_y) = S \quad \text{ma} \quad \rho(J_A) < M+S$$

dovrebbe essere sempre  $\mathfrak{R}(J^T) \cap \mathfrak{R}(J_y^T) = \emptyset$

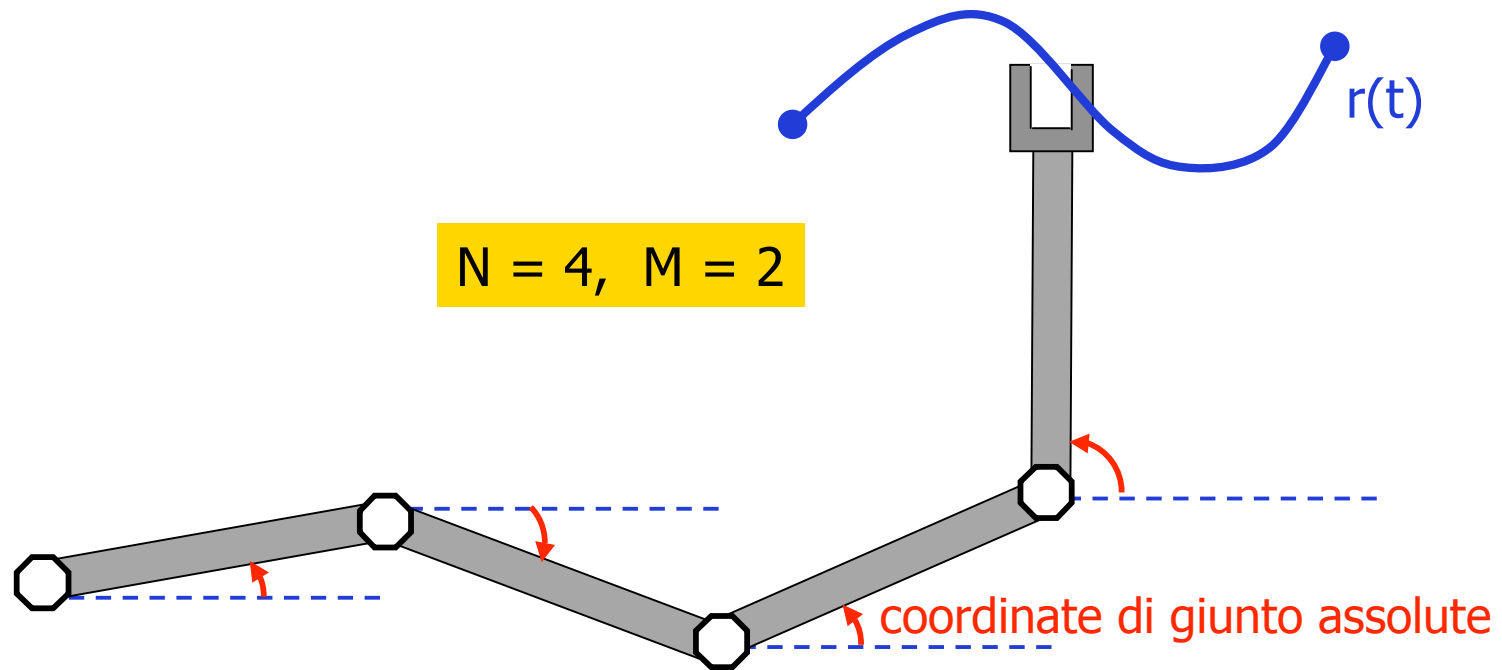
difficile da ottenere globalmente!



righe di  $J$  e righe di  $J_y$   
linearmente indipendenti

# Compito aumentato

eempio



$$f_y(q) = q_4 = \pi/2 \quad (S = 1)$$

ultimo braccio mantenuto verticale



# Jacobiano esteso ( $S = N - M$ )

- $J_A$  quadrato: in assenza di singolarità **algoritmiche**, si può prendere

$$\dot{q} = J_A^{-1}(q) \dot{r}_A$$

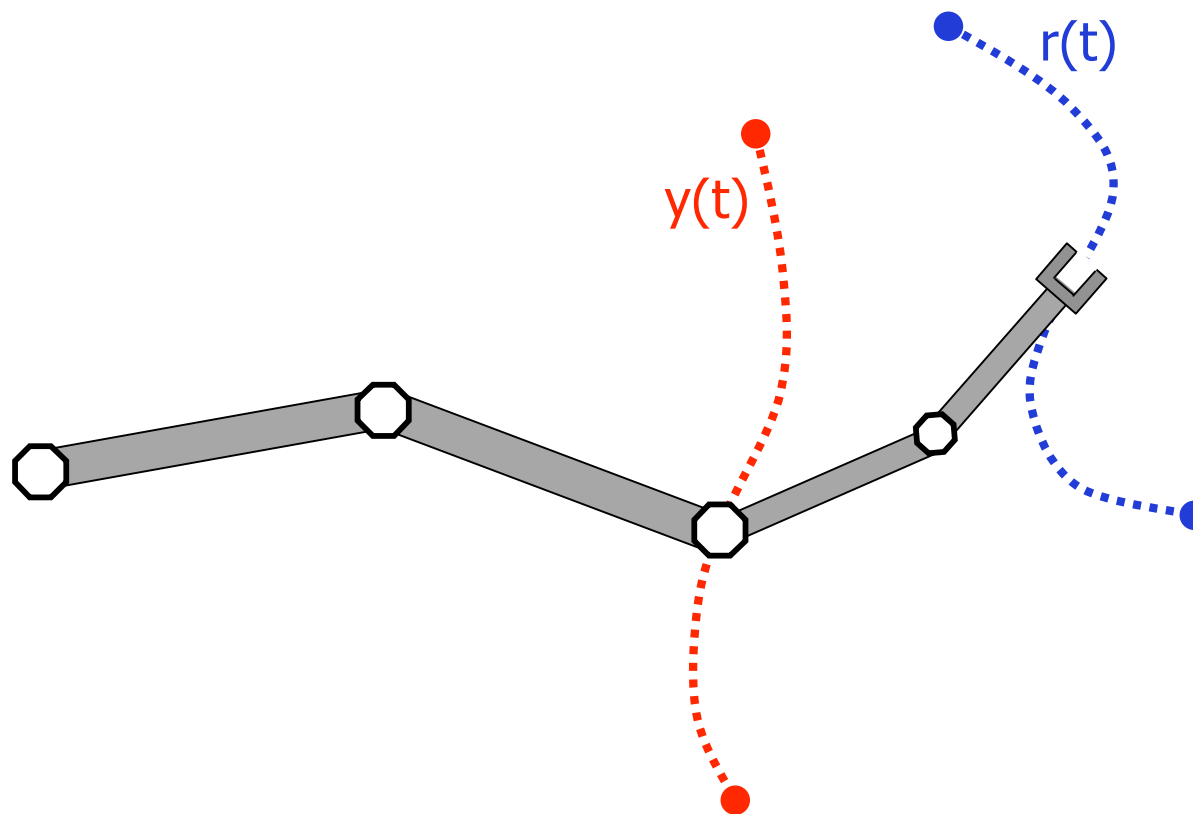
- lo schema è evidentemente **ripetibile**
- se  $f_y(q) = 0$  corrisponde a condizioni necessarie (& sufficienti) di ottimo vincolato per una certa funzione  $H(q)$ , lo schema assicura permanenza dell'**ottimalità** durante l'esecuzione del compito
- in presenza di singolarità algoritmiche, l'esecuzione sia del **compito originario** che dei **compiti aggiuntivi** risulta affetta da **errore**

# Jacobiano esteso

## esempio



manipolatore MACRO-MICRO



$$N = 4, M = 2$$

$$\dot{r} = J(q_1, \dots, q_4) \dot{q}$$

$$\dot{y} = J_y(q_1, q_2) \dot{q}$$



$$J_A = \begin{pmatrix} * & * \\ * & 0 \end{pmatrix} \quad 4 \times 4$$



# Priorità di compito

se il compito originale  $\dot{r} = J(q)\dot{q}$  ha una **priorità maggiore** del compito ausiliario  $\dot{y} = J_y(q)\dot{q}$

- si fa **prima** in modo che venga eseguito il compito prioritario

$$\dot{q} = J^\# \dot{r} + (I - J^\# J)v$$

- e **poi** si sceglie  $v$  in modo da soddisfare (se possibile) anche il compito secondario

$$\dot{y} = J_y(q)\dot{q} = J_y J^\# \dot{r} + J_y (I - J^\# J)v = J_y J^\# \dot{r} + \tilde{J}_y v$$

la soluzione generale per  $v$  è nella forma usuale

$$v = \tilde{J}_y^\# (\dot{y} - J_y J^\# \dot{r}) + (I - \tilde{J}_y^\# \tilde{J}_y) w$$

a disposizione per eventuali ulteriori compiti a priorità più bassa



## Priorità di compito (cont.)

- sostituendo l'espressione di  $v$  in  $\dot{q}$

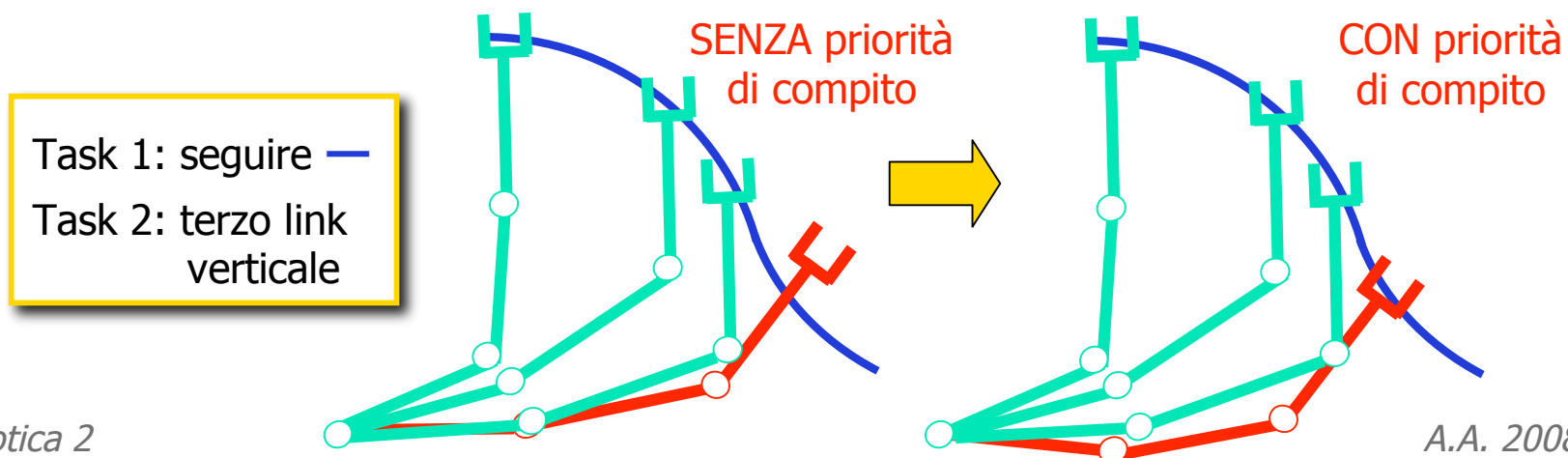
$$\dot{q} = J^{\#} \dot{r} + (I - J^{\#} J) \tilde{J}_y^{\#} (\dot{y} - J_y J^{\#} \dot{r}) + (I - J^{\#} J) (I - \tilde{J}_y^{\#} \tilde{J}_y) w$$

poiché  $C [BC]^{\#} = [BC]^{\#}$   
se  $C$  idempotente

$$\tilde{J}_y^{\#}$$

eventualmente = 0

- vantaggio della strategia: **compito principale non più affetto dalle singularità algoritmiche**





# Estensioni

---

- la trattazione dei metodi di risoluzione della ridondanza svolta finora:
  - è definita al primo ordine differenziale (velocità)
    - possibile lavorare in **accelerazione**
  - non tiene conto di errori nell'esecuzione del compito
    - possibile usare un **controllo cinematico**
  - si applica ai robot manipolatori a base fissa
    - possibile considerare **manipolatori mobili** (su ruote)



# Risoluzione al secondo ordine

$$r = f(q) \Rightarrow \dot{r} = J(q)\dot{q} \Rightarrow \boxed{\ddot{r} = J(q)\ddot{q} + \dot{J}(q)\dot{q}}$$

- posto nella forma

$$J(q)\ddot{q} = \ddot{r} - \dot{J}(q)\dot{q} \triangleq \ddot{x}$$

da scegliere      assegnata (al tempo t)      note q e  $\dot{q}$  (al tempo t)

il problema è formalmente equivalente a prima, con l'**accelerazione** al posto della velocità

- ad esempio, nel metodo con lo spazio nullo

$$\ddot{q} = \underbrace{J^\#(q)}_{\text{soluzione a minima norma di accelerazione}} \ddot{x} + \underbrace{(I - J^\#(q)J(q))}_{= \nabla_q H - K_D \dot{q}} \ddot{q}_0$$

"stabilizzazione" automovimenti



# Controllo cinematico

- dato un compito desiderato  $r_d(t)$  (M-dimensionale), per recuperare un errore  $e = r_d - r$ , iniziale o successivo dovuto a
  - disturbi
  - linearizzazione intrinseca nello Jacobiano (moto al primo ordine)
  - implementazione a tempo discreto

è necessario “chiudere” un anello di **feedback sul compito**, sostituendo (con guadagni  $K$  o  $K_p$ ,  $K_v > 0$  e diagonali)

$$\dot{r} \quad \Rightarrow \quad \dot{r}_d + K(r_d - r) \quad \text{nei metodi in velocità}$$

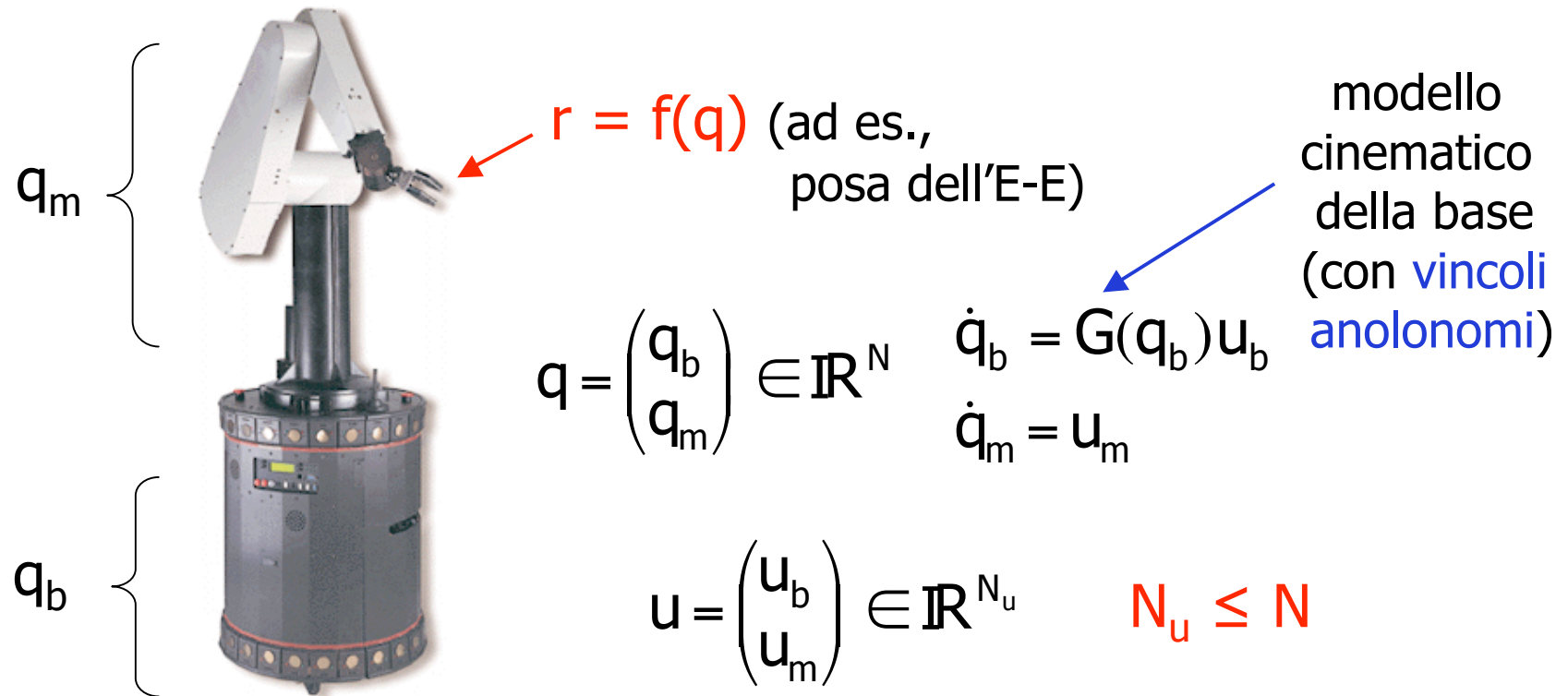
$$\ddot{r} \quad \Rightarrow \quad \ddot{r}_d + K_v(\dot{r}_d - \dot{r}) + K_p(r_d - r) \quad \text{... in accelerazione}$$

con  $r = f(q)$ ,  $\dot{r} = J(q)\dot{q}$



# Manipolatori mobili

- si combinano coordinate della base  $q_b$  e del manipolatore  $q_m$
- si utilizza il legame differenziale con i comandi effettivi  $u_b$  disponibili sulla base e  $u_m$  sul manipolatore





# Jacobiano manipolatore mobile

$$r = f(q) = f(q_b, q_m)$$

$$\dot{r} = \frac{\partial f(q)}{\partial q_b} \dot{q}_b + \frac{\partial f(q)}{\partial q_m} \dot{q}_m = J_b(q) \dot{q}_b + J_m(q) \dot{q}_m$$

$$= J_b(q) G(q_b) u_b + J_m(q) u_m = \begin{pmatrix} J_b(q) G(q_b) & J_m(q) \end{pmatrix} \begin{pmatrix} u_b \\ u_m \end{pmatrix}$$

$$= \boxed{J_{NMM}(q)} u \quad \begin{array}{l} \text{Nonholonomic Mobile Manipulator} \\ \text{Jacobian } (M \times N_u) \end{array}$$

- ... e tutto segue sostituendo

$$J \Rightarrow J_{NMM} \quad \dot{q} \Rightarrow u \quad (\text{ridondanza se } N_u - M > 0)$$

ossia gli effettivi  
comandi disponibili